

重庆中华蜜蜂囊状幼虫病病毒多聚蛋白基因分子特性分析

沈克飞[#], 曹 兰[#], 郑 华, 杨 柳, 张邑帆, 张素辉^{*}

(重庆市畜牧科学院, 重庆 402460)

摘要:【目的】分析地处中国南方的重庆地区中华蜜蜂 *Apis cerana cerana* (简称“中蜂”)囊状幼虫病病毒 (sacbrood virus, SBV) (AcSBV-S. Chn-CQ) 的遗传特性。【方法】采用 RT-PCR 法对采自重庆 23 个区县的阳性中蜂幼虫进行 SBV 多聚蛋白基因扩增、序列测定和序列分析,采用邻接法 (neighbor-joining method) 基于基因组和基因组片段 SB11-SB12 构建系统进化树,使用 RDP3 检测 SBV 的基因重组。【结果】AcSBV-S. Chn-CQ 与中国南方中蜂 SBV (AcSBV-S. Chn) 其他分离株、越南北部东方蜜蜂 *A. cerana* SBV (AcSBV-N. Vie)、越南北部西方蜜蜂 *A. mellifera* SBV (AmSBV-N. Vie)、韩国东方蜜蜂 SBV (AcSBV-S. Kor) 的同源性较高。AcSBV-S. Chn-CQ 在结构蛋白编码区域存在连续 51 个核苷酸缺失,在非结构蛋白编码区域有 3 个不连续的核苷酸缺失,与 AcSBV-N. Vie, AmSBV-N. Vie 和 AcSBV-S. Kor 核苷酸缺失相同。AcSBV-S. Chn-CQ 与 AcSBV-S. Chn-FZ, AcSBV-N. Vie, AmSBV-N. Vie 和 AcSBV-S. Kor 在亚洲基因型中形成一亚型,亚型内检测到重组事件。【结论】推测 AcSBV-S. Chn-CQ 与 SBV-N. Vie 和 AcSBV-S. Kor 可能来自一个共同祖先。

关键词: 中华蜜蜂; 囊状幼虫病病毒; 多聚蛋白基因; 核苷酸缺失; 系统进化

中图分类号: Q965.8 **文献标识码:** A **文章编号:** 0454-6296(2015)09-0959-07

Molecular characterization of the polyprotein gene of sacbrood virus isolated from *Apis cerana cerana* in Chongqing, southwestern China

SHEN Ke-Fei[#], CAO Lan[#], ZHENG Hua, YANG Liu, ZHANG Yi-Fan, ZHANG Su-Hui^{*} (Chongqing Academy of Animal Sciences, Chongqing 402460, China)

Abstract: 【Aim】 This study aims to analyze the genetic characteristics of sacbrood virus (SBV) isolated from *Apis cerana cerana* in Chongqing, southwestern China (AcSBV-S. Chn-CQ). 【Methods】 The polyprotein gene of SBV was amplified by RT-PCR from samples of *A. c. cerana* larvae infected with SBV, which originated from 23 districts or counties in Chongqing, sequenced and analyzed. Phylogenetic trees were constructed using neighbor-joining method based on SBV genome, and the genomic region SB11-SB12. RDP3 was used to detect the genetic recombination. 【Results】 AcSBV-S. Chn-CQ showed high homologies with other SBV isolates from *A. c. cerana* in South China (AcSBV-S. Chn), the SBV infecting *A. cerana* and *A. mellifera* in North Vietnam (AcSBV-N. Vie and AmSBV-N. Vie) and the SBV infecting *A. cerana* in South Korea (AcSBV-S. Kor). AcSBV-S. Chn-CQ has a consecutive 51-nucleotide deletion along the structural protein-coding region and an inconsecutive 3-nucleotide deletion along the nonstructural protein-coding region, and its nucleotide deletion is identical to those of AcSBV-N. Vie, AmSBV-N. Vie and AcSBV-S. Kor. AcSBV-S. Chn-CQ, AcSBV-S. Chn-FZ, AcSBV-N. Vie, AmSBV-N. Vie and AcSBV-S. Kor formed a subtype within the Asian genotype, and recombination events were detected in the isolates within this subtype. 【Conclusion】 AcSBV-S. Chn-CQ, SBV-N. Vie and AcSBV-S. Kor may share a common origin.

Key words: *Apis cerana cerana*; sacbrood virus (SBV); polyprotein gene; nucleotide deletion; phylogeny

基金项目: 重庆市基本科研业务费项目(15441)

作者简介: 沈克飞, 男, 1980 年 12 月生, 安徽六安人, 硕士, 助理研究员, 从事蜜蜂保护学研究, E-mail: coffeeshine@163.com; 曹兰, 女, 1980 年 10 月生, 重庆江津人, 本科, 助理研究员, 从事蜜蜂保护学研究, E-mail: fyscl2010@163.com

[#] 共同第一作者 Authors with equal contribution

^{*} 通讯作者 Corresponding author, E-mail: 446116409@qq.com

收稿日期 Received: 2015-03-16; 接受日期 Accepted: 2015-07-17

蜜蜂囊状幼虫病病毒(sacbrood virus, SBV)是单股正链昆虫小 RNA 样病毒,包含一个开放阅读框(open reading frame, ORF),编码一条多聚蛋白(polyprotein)。已知在 GenBank 公布序列的 SBV 主要包含 2 大基因型,即亚洲基因型和欧洲基因型(或称为东方蜜蜂 *Apis cerana* 基因型和西方蜜蜂 *Apis mellifera* 基因型)(Ghosh *et al.*, 1999; 曹兰等, 2012),分别感染东方蜜蜂和西方蜜蜂(Grabensteiner *et al.*, 2001; Kojima *et al.*, 2011),表现出宿主特异性(Kojima *et al.*, 2011)。这其中也有少数感染亚洲饲养的西方蜜蜂 SBV 属于亚洲基因型,在以前的 SBV 系统进化分析中将其视为例外(Grabensteiner *et al.*, 2001; Kojima *et al.*, 2011; Choe *et al.*, 2012b; Yang *et al.*, 2013)。SBV 可感染幼虫和成蜂,主要造成幼虫死亡,危害蜜蜂繁殖和蜂群群势。相对于西方蜜蜂,包括中华蜜蜂 *A. cerana* (简称“中蜂”)在内的东方蜜蜂对 SBV 更易感,SBV 感染产生的症状典型,所造成的危害更大(Grabensteiner *et al.*, 2001)。重庆地区地处西南,是我国重要的中蜂饲养区,也是 SBV 的流行区。春季 SBV 流行期恰处该地区油菜花流蜜期,不仅影响中蜂繁殖也有损蜂农经济利益。最近,GenBank 公布了多条东方蜜蜂 SBV 和西方蜜蜂 SBV 的基因组序列。我们利用这些基因组序列,对 AcSBV-S. Chn-CQ 进行序列分析和系统进化分析。结果发现除了东方蜜蜂 SBV 外,AcSBV-S. Chn-CQ 与 AmSBV-N. Vie 有最近亲缘关系。

1 材料和方法

1.1 样本

经 RT-PCR 法(Shen *et al.*, 2012)鉴定为囊状幼虫病病毒感染的病死中蜂 *A. c. cerana* 幼虫,采自 2010–2014 年间暴发囊状幼虫病的重庆中蜂场,样本于–80℃保存。样品采集地分布在重庆中部、西部、东南和东北的 23 个区县。

1.2 主要试剂

rTap、pMD18-T 载体、Trizol 和 PrimeScript RT-PCR Kit 均购自 TaKaRa 公司;凝胶回收试剂盒购自 OMEGA 公司。

1.3 总 RNA 提取

将冷冻样本取出解冻,吸取 50~100 μL 样本渗出液加 Trizol 试剂至 1 mL,室温静置 15 min 后,加入 250 μL 氯仿,充分振荡后室温静置 15 min,4℃ 12 000 r/mim 离心 15 min;取上清,加入等体积的异丙醇,混匀后于–20℃静置 1 h;4℃ 12 000 r/min 离

心 10 min。沉淀用 70% 乙醇洗涤 1 次,吸干上清,沉淀溶解于 100 μL 经 DEPC 处理的去离子水中,以备反转录使用。

1.4 引物

根据 AcSBV-S. Chn-GZ 基因组序列(GenBank 登录号 AF469603)设计扩增 SBV 多聚蛋白基因的引物。引物由生工生物工程(上海)股份有限公司合成。引物序列见表 1。

表 1 用于 SBV 基因组扩增的引物
Table 1 Primers for amplification of SBV genome

引物名称 Primer	引物序列 (5′–3′) Primer sequence	核苷酸 位置 Nucleotide position	扩增子 大小(bp) Amplicon size
CSBV1F	ACCAACCGATTCCTCA	180–195	1 114
CSBV1R	ACGACATACCCGCAAA	1 278–1 293	
CSBV2F	GTTAGGAATCAAACGCACAA	1 125–1 144	1 224
CSBV2R	GGGCAGGAATCTATGTGG	2 331–2 348	
CSBV3F	CCACCTGATG GTTATG	2 220–2 235	772
CSBV3R	TACCACTATCGCCTTT	2 951–2 967	
CSBV4F	TCAGCGGAAGTACTCAT	2 976–2 991	1 052
CSBV4R	TCAGCGGAAGTACTCAT	3 987–4 002	
CSBV5F	GTTGTCTGGAGGAAGC	3 821–3 836	835
CSBV5R	CCTACGGTAAATTGCACTG	4 637–4 655	
CSBV6F	ACCCAGTGCAATTTACC	4 634–4 650	1 000
CSBV6R	CATTTCGACGGAGTACATT	5 526–5 543	
CSBV7F	CGAATGTTGGGAGGTA	5 538–5 553	896
CSBV7R	GAATCAAGGGATGGGT	6 418–6 433	
CSBV8F	GAACAGGGATCCCTTGA	6 414–6 430	1 007
CSBV8R	GATAACCAACCCGTCCC	7 405–7 420	
CSBV9F	GGAATGTTGGGAATTACC	7 103–7 120	1 620
CSBV9R	GACTAATAACTAATTCGGGATA	8 700–8 722	

核苷酸位置参考 AcSBV-S. Chn-GZ (GenBank 登录号 AF469603)。The nucleotide positions refer to the genome sequence of AcSBV-S. Chn-GZ (GenBank accession no. AF469603)。

1.5 RT-PCR

使用 PrimeScript RT-PCR Kit 及其 Random 6mers 以提取的 RNA 为模板反转录合成 cDNA 第一条链,实验操作按试剂盒说明书进行。以反转录合成的 cDNA 为模板进行 PCR 扩增反应。PCR 反应体系为:10 × PCR Buffer (含 15 mmol/L Mg²⁺) 2.5 μL, 2.5 mmol/L dNTPs 0.5 μL, 5 U/μL rTaq 0.1 μL, 10 μmol/L 的上、下游引物各 0.5 μL, cDNA 0.5 μL, 补去离子水至 25 μL。反应条件为:94℃ 预变性 2 min;94℃ 变性 30 s,45℃ 退火 30 s, 72℃ 延伸 60 s,共 30 个循环;72℃再延伸 5 min。所用引物见表 1。

1.6 条带分析及序列测定

PCR 产物经 1% 琼脂糖凝胶电泳鉴定,回收目的条带,将其克隆至 pMD18-T 载体,用通用引物 M13 +/M13 - 对其进行双向序列测定,每个扩增片段至少测序 3 个重组质粒。

1.7 序列分析

将所得序列在 NCBI 上作 BLAST 搜索以进行源性分析。使用 ClustalW2 软件 (<http://www.ebi.ac.uk/Tools/msa/clustalw2/#>) 进行多序列比对分析。使用在线软件 (<http://web.expasy.org/translate/>) 翻译所得片段,在 NCBI 上进行保守结构域 BLAST(<http://www.ncbi.nlm.nih.gov/Structure/cdd/wrpsb.cgi>)。采用 MEGA 4 软件中的邻接法 (neighbor-joining method, NJ), 基于基因组和基因组片段 SB11-SB12 (Grabensteiner *et al.*, 2001) (对应于 AcSBV-S. Chn-GZ 基因组的第 5 537 - 6 433 位核苷酸) 构建 SBV 系统进化树。使用 RDP4 软件分析 SBV 的基因重组。

2 结果

2.1 SBV 基因序列分析

经序列测定及序列分析获得一条长度为 8 488 nt 的 SBV 基因组编码序列,约占 SBV 基因组长度的 97%,多聚蛋白基因的 99. 6%。序列已提交 GenBank,登录号为 KJ716805 和 KJ716806。多序列比对发现,AcSBV-S. Chn-CQ 与 AcSBV-S. Chn-FZ

(GenBank 登录号 KM495267)、AcSBV-S. Chn-GZ (GenBank 登录号 AF469603)、AcSBV-N. Vie (AcSBV-N. Vie1, GenBank 登录号 KM884990; AcSBV-N. Vie2, GenBank 登录号 KM884991 等)、AmSBV-N. Vie (GenBank 登录号 KM884993)、AcSBV-S. Kor (GenBank 登录号 HQ322114) 的同源性高于与中国北方中蜂 SBV (AcSBV-N. Chn) (AcSBV-N. Chn-LN, GenBank 登录号 HM237361; AcSBV-N. Chn-BJ, GenBank 登录号 KF960044; AcSBV-N. Chn-SX, GenBank 登录号 KJ000692) 的同源性 (表 2)。序列分析也发现在引物对 CSBV3F/CSBV3R 和 CSBV8F/CSBV8R 所扩增片段处,与 AcSBV-S. Chn-GZ 相比,AcSBV-S. Chn-CQ 存在 2 段核苷酸缺失。第 1 段为连续 51 个核苷酸缺失 (对应于 AcSBV-S. Chn-GZ 的第 2 265 - 2 323 位核苷酸) (图 1: A)。第 2 段为 3 个不连续核苷酸缺失 (对应于 AcSBV-S. Chn-GZ 的第 6 502 - 6 565 位核苷酸) (图 1: B)。为了验证这种核苷酸缺失,使用引物对 CSBV3F/CSBV3R 和 CSBV8F/CSBV8R,对采自 2010 - 2014 年间的分布在重庆中部、西部、东南和东北的 23 个区县的 53 份阳性中蜂样本,进行 RT-PCR 扩增、序列测定和序列比对,结果发现该核苷酸插入/缺失模式是真实存在于 AcSBV-S. Chn-CQ, 并且 AcSBV-S. Chn-CQ 与 AcSBV-N. Vie, AmSBV-N. Vie 及 AcSBV-S. Kor 核苷酸插入/缺失模式相同。部分序列信息已提交 GenBank,登录号为 KJ740735 - KJ740744。

表 2 AcSBV-S. Chn-CQ 序列同源性比较

Table 2 Sequence homology of AcSBV-CQ

编号 No.	序列 Sequence	GenBank 登录号 GenBank accession no.	1	2	3	4	5	6	7	8	9	10	11	12	13	14	15	16	17
1	AcSBV-S. Chn-CQ	KJ716806		98	97	97	96	97	95	94	93	93	93	93	93	93	92	91	90
2	AcSBV-S. Chn-CQ1	KJ716805	98		97	97	96	97	95	94	93	93	93	93	93	93	92	91	90
3	AcSBV- S. Chn-FZ	KM495267	97	97		97	96	97	95	94	94	94	93	93	93	93	93	91	90
4	AcSBV-N. Vie1	KM884990	97	97	97		97	96	94	94	93	93	93	93	93	92	92	90	90
5	AmSBV-N. Vie4	KM884993	96	96	96	97		96	94	94	93	93	93	93	93	92	92	91	90
6	AcSBV-S. Chn-GZ	AF469603	97	97	97	97	96		95	94	94	94	93	93	93	93	91	91	91
7	AcSBV-S. Kor	HQ322114	95	95	95	94	94	97		98	93	93	93	93	93	93	92	90	90
8	AmSBV-S. Kor19	JQ390592	94	94	94	94	94	96	98		93	92	93	93	92	92	92	91	90
9	AcSBV-S. Vie-SBM2	KC007374	93	93	94	93	93	95	93	93		94	94	94	94	94	94	91	91
10	AcSBV-N. Chn-LN	HM237361	93	93	94	93	93	94	93	92	94		93	93	93	93	93	91	90
11	AcSBV-N. Chn-SX	KJ000692	93	93	93	93	93	94	93	93	94	93		99	93	95	92	91	90
12	AcSBV-N. Chn-BJ	KF960044	93	93	93	93	93	94	93	93	94	93	99		93	99	92	91	90
13	AcSBV-S. Vie-LDst	KJ959613	93	93	93	93	93	94	93	92	94	93	93	94		99	94	91	90
14	AmSBV-N. Vie6	KM884995	93	93	93	92	93	93	90	92	94	93	93	93	99		94	91	90
15	AcSBV-Ind-II-9	JX270800	92	92	93	92	92	93	92	92	94	93	92	92	94	94		90	90
16	AmSBV-NPG	KJ629183	91	91	91	90	91	91	91	91	91	91	91	91	91	91	90		92
17	AmSBV-UK	AF092924	90	90	90	90	90	90	90	91	91	90	90	90	90	90	90	92	

Am: 西方蜜蜂 *Apis mellifera*; Ac: 东方蜜蜂 *Apis cerana*.

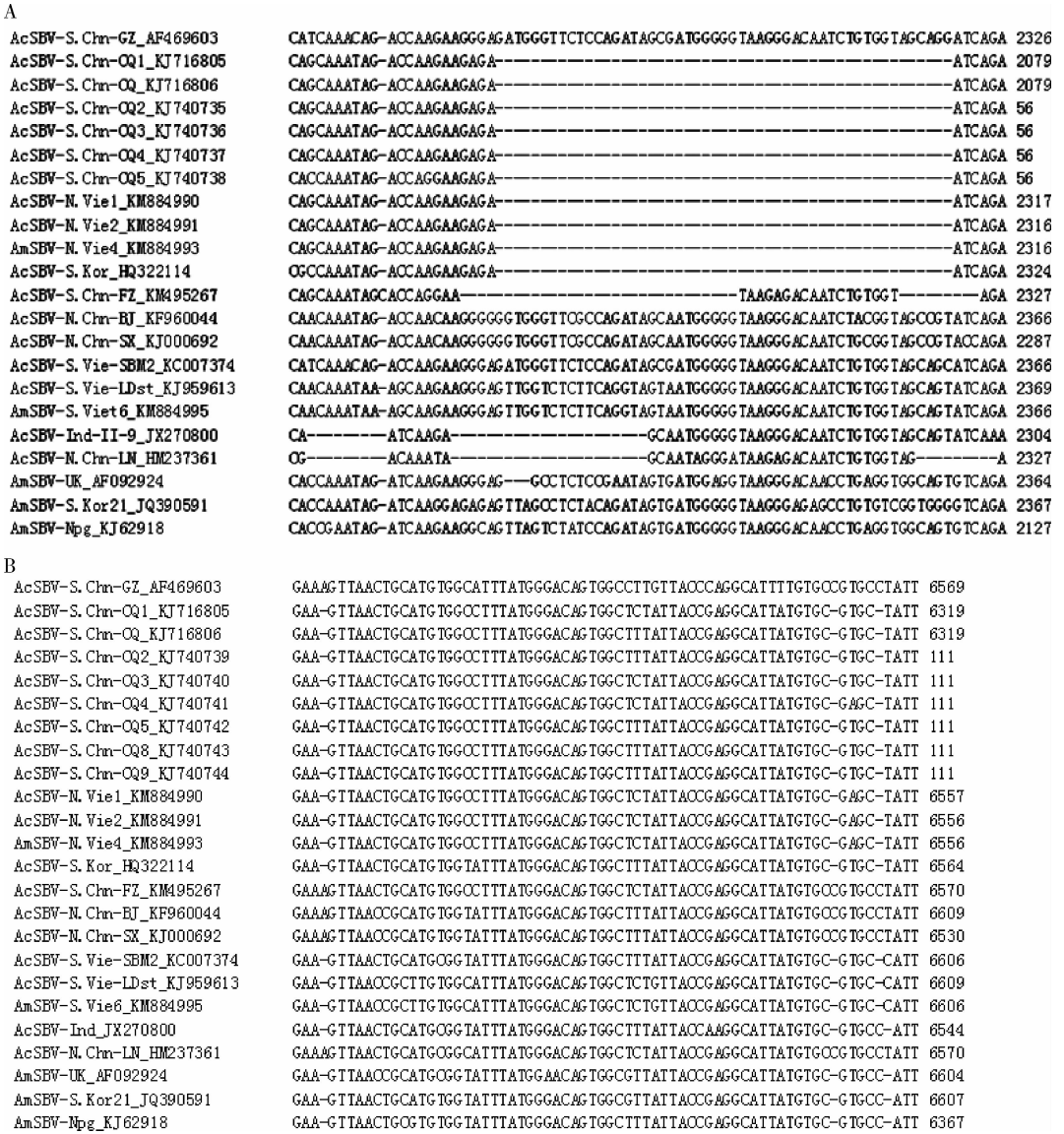


图 1 SBV 多聚蛋白基因中核苷酸缺失区域

Fig. 1 Deleted regions in the polyprotein gene of SBV

AcSBV-S. Chn-CQ 在 AcSBV-S. Chn-GZ 基因组的第 2 270 – 2 320 (A) 位核苷酸出现连续 51 个核苷酸缺失,在第 6 502 – 6 564 位(B)核苷酸出现不连续的 3 个核苷酸缺失。AcSBV-S. Chn-CQ has a consecutive 51-nucleotide and an inconsecutive 3-nucleotide deletion at nucleotide positions 2 270 – 2 320 (A) and 6 502 – 6 564 (B) compared with AcSBV-S. Chn-GZ, respectively. Am: 西方蜜蜂 *Apis mellifera*; Ac: 东方蜜蜂 *Apis cerana*.

8 488 nt 的 SBV 核苷酸序列编码一条由 2 828 个氨基酸残基组成多聚蛋白序列。经保守结构域 BLAST 搜索,所推导的多聚蛋白 N 端为结构蛋白,包含 2 个小 RNA 病毒衣壳蛋白药物结合口袋 (drug-binding pocket) 结构域 (domain),分别位于第 174 – 368 位和第 447 – 661 位氨基酸残基;C 端为非结构蛋白,包含 RNA 解旋酶、3C 丝氨酸蛋白酶、RNA 依赖的 RNA 聚合酶结构域,分别位于第 1 340 – 1 449,2 051 – 2 280 和 2 314 – 2 803 位氨基酸残基。

2.2 SBV 的系统进化分析

从基因组水平的进化树上可见,SBV 主要划分为亚洲基因型和欧洲基因型 (图 2)。AcSBV-S. Chn-CQ 与 AcSBV-S. Chn-FZ, AcSBV-N. Vie, AmSBV-N. Vie 和 AcSBV-S. Kor 构成亚洲基因型中的一亚型。AcSBV-S. Chn 与 AcSBV-N. Chn 形成 2 个单独进化分支。以基因组相应片段为参考,SB11-SB12 进化树(图 3)的拓扑图与 SBV 基因组进化树相似。从该图可见,AcSBV-S. Chn-CQ 与众多 AmSBV-N. Vie 聚成亚群。

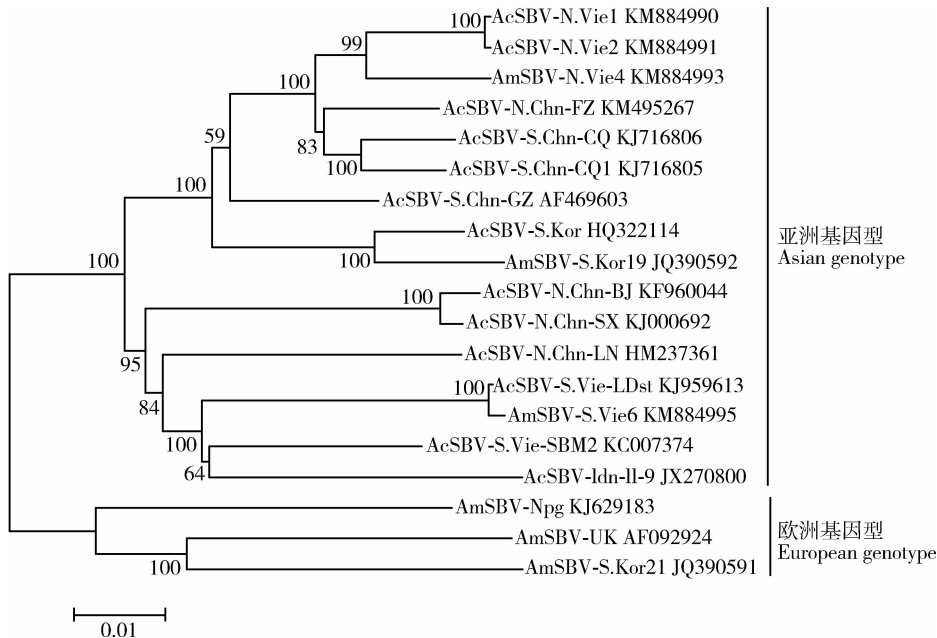


图 2 采用邻接法构建的 SBV 基因组进化树

Fig. 2 Phylogenetic tree of SBV based on the genome using the neighbor-joining method

Am: 西方蜜蜂 *Apis mellifera*; Ac: 东方蜜蜂 *Apis cerana*.

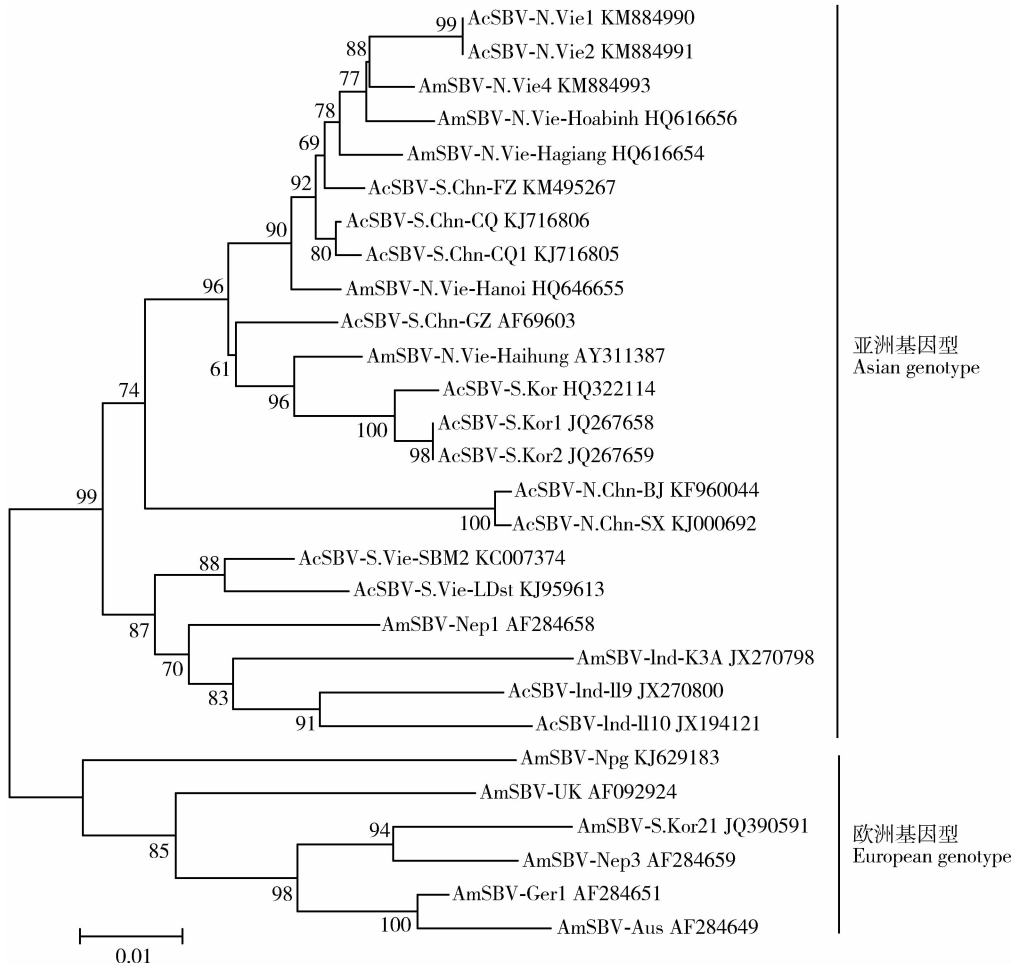


图 3 采用邻接法构建的 SBV SB11-SB12 片段进化树

Fig. 3 Phylogenetic trees of SBV based on the genomic region SB11-SB12 using the neighbor-joining method

Am: 西方蜜蜂 *Apis mellifera*; Ac: 东方蜜蜂 *Apis cerana*.

2.3 SBV 的基因重组分析

使用 Bootscan 方法进行重组分析,未发现 AcSBV-S. Chn-CQ 发生重组。但发现 AmSBV-N. Vie4 可能是重组体,与其所在亚型 SBV 发生重组

(图 4)。AmSBV-N. Vie4 与 AcSBV-N. Vie1 的核苷酸序列一致性高于 98.4%,但在第 587-1 978 位核苷酸,两者一致性为 93%;而此段 AmSBV-N. Vie4 与同亚型的 AcSBV-N. Vie3 的一致性为 95%。

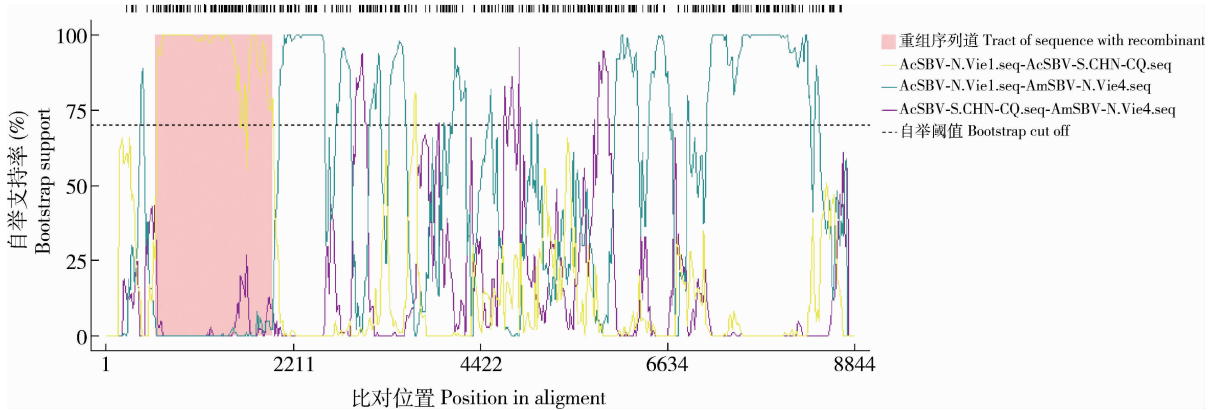


图 4 SBV 重组分析
Fig. 4 Recombinant analysis of SBV

3 讨论

突变驱动 SBV 进化 (Roberts *et al.*, 2014)。SBV 具有点突变和核苷酸插入/缺失 2 种变异模式 (Grabensteiner *et al.*, 2001; Choe *et al.*, 2012a, 2012b; Ma *et al.*, 2011)。点突变使 SBV 基因组序列具有明显的区域特性,同一地域或相近地域的同宿主种群 SBV 的点突变模式较一致,同源性高,如韩国东方蜜蜂 SBV (Choe *et al.*, 2012b)、广州中蜂和重庆中蜂 SBV (罗文华等, 2013)。本研究发现,除了 AcSBV-S. Chn-FZ 之外,SBV 多聚蛋白基因核苷酸插入/缺失出现在基因组的 2 个片段上。第 1 段位于结构蛋白编码基因上,是连续核苷酸缺失;第 2 段位于非结构蛋白编码基因上,是 3 个不连续的核苷酸缺失。这提示 SBV 编码序列插入/缺失可能由同一次突变事件造成,相同插入/缺失模式的 SBV 可能来自同一祖先。由此推测 AcSBV-S. Chn-CQ 与 AcSBV-N. Vie, AmSBV-N. Vie 和 AcSBV-S. Kor 可能有共同起源。由于遥远的地理距离使 AcSBV-S. Chn-CQ 与 AcSBV-S. Kor 的同源性低于地域上相近的 AcSBV-S. Chn-GZ 和 AcSBV-Chn-FZ 的同源性。

在基因组水平进化树中,可将已知序列的 SBV 主要分为亚洲基因型和欧洲基因型。AcSBV-S. Chn-CQ 属于亚洲基因型,且与 AcSBV-S. Chn 其他分离株聚成亚型,而不与 AcSBV-N. Chn 聚为亚型。这表明中蜂 SBV 存在南北方隔离进化的趋势。而

这种趋势是由中蜂地理亚群造成,还是由气候等其他因素造成的,有待研究。值得注意的是,AcSBV-S. Chn-CQ 与众多 AmSBV-N. Vie 聚成亚群,类似现象在以前的研究也多次发现,常被视作例外 (Grabensteiner *et al.*, 2001; Kojima *et al.*, 2011; Choe *et al.*, 2012b; Yang *et al.*, 2013)。而众多来自亚洲西方蜜蜂的 SBV 与东方蜜蜂 SBV 聚成亚群,显示这种现象是真实存在的。重组分析得出,两株越南西蜂 SBV (AmSBV-N. Vie4 和 AmSBV-S. Vie6) 均未与欧洲基因型 SBV 发生重组,而与同亚型的东方蜜蜂 SBV 在基因水平上具有一致的相似性。表明这两株 SBV 均来自东方蜜蜂,或是东方蜜蜂 SBV 的变异株。这和与欧洲基因型 SBV 发生重组的 AmSBV-Kor19 不同 (Choe *et al.*, 2012a)。这提示越南东方蜜蜂 SBV 或其突变体可直接或间接感染越南西方蜜蜂。因此,从现实角度考虑 SBV 的宿主特异性已不成立。从已知序列 SBV 的采集地来看,属于亚洲基因型的西方蜜蜂饲养地主要分布在印度、尼泊尔 (Grabensteiner *et al.*, 2001)、中国 (Yang *et al.*, 2013)、韩国 (Choe *et al.*, 2012a)、越南等国家。研究这些地域的 SBV 的遗传特性将可能揭示 SBV 未知的遗传变异规律。

参考文献 (References)

Cao L, Shen KF, Zhang YF, Luo WH, Wang RS, Ren Q, Guo J, Wang ZD, Dai RG, 2012. Genotyping of sacbrood virus. *Progr. Vet. Med.*, 33(1): 44-47. [曹兰, 沈克飞, 张邑帆, 罗文华, 王

瑞生, 任勤, 郭军, 王志冬, 戴荣国, 2012. 蜜蜂囊状幼虫病病毒的基因型分析. *动物医学进展*, 33(1): 44–47]

Cao L, Zhang YF, Shen KF, Ren Q, Yang L, Fu LZ, 2013. Analysis of encoding sequence of Chinese sacbrood virus. *Chin. J. Biologicals*, 26(11): 1561–1566. [曹兰, 张邑帆, 沈克飞, 任勤, 杨柳, 付利芝, 2013. 中蜂囊状幼虫病病毒重庆株编码序列分析. *中国生物制品学杂志*, 26(11): 1561–1566]

Choe SE, Nguyen LTK, Noh JH, Kweon CH, Reddy KE, Koh HB, Chang KY, Kang SW, 2012a. Analysis of the complete genome sequence of two Korean sacbrood viruses in the Honey bee, *Apis mellifera*. *Virology*, 432(1): 155–161.

Choe SE, Nguyen TTD, Hyun BH, Noh JH, Lee HS, Lee CH, Kang SW, 2012b. Genetic and phylogenetic analysis of South Korean sacbrood virus isolates from infected honey bees (*Apis cerana*). *Vet. Microbiol.*, 157(1–2): 32–40.

Ghosh RC, Ball BV, Willcocks MM, Carter MJ, 1999. The nucleotide sequence of sacbrood virus of the honeybee: an insect picorna-like virus. *J. Gen. Virol.*, 80: 1541–1549.

Grabensteiner E, Ritter W, Carter MJ, Davison S, Pechhacker H, Kolodziejek J, Boecking O, Derakhshifar I, Moosbeckhofer R, Licek E, Nowotny N, 2001. Sacbrood virus of the honeybee (*Apis mellifera*): rapid identification and phylogenetic analysis using reverse transcription-PCR. *Clin. Diagn. Lab. Immunol.*, 8(1): 93–104.

Kojima Y, Toki T, Morimoto T, Yoshiyama M, Kimura K, Kadowaki T, 2011. Infestation of Japanese native honey bees by tracheal mite and virus from non-native European honey bees in Japan. *Microb. Ecol.*, 62(4): 895–906.

Luo WH, Zhang YF, Shen KF, Cao L, Yang R, Lu Y, 2013. Genotype-specific genetic variation of sacbrood virus isolates from *Apis cerana cerana* in Chongqing region, China. *Chin. J. Biologicals*, 26(3): 315–323. [罗文华, 张邑帆, 沈克飞, 曹兰, 杨睿, 卢茵, 2013. 重庆地区中蜂囊状幼虫病病毒型特异性遗传变异分析. *中国生物制品学杂志*, 26(3): 315–323]

Ma MX, Ming L, Jian C, Song Y, Shude W, Pengfei L, 2011. Molecular and biological characterization of Chinese sacbrood virus LN isolate. *Comp. Funct. Genomics*, 2011: 409386.

Roberts JMK, Anderson DL, 2014. A novel strain of sacbrood virus of interest to world apiculture. *J. Invertebr. Pathol.*, 118: 71–74.

Shen KF, Cao L, Yang JL, 2012. Rapid detection of sacbrood virus (SBV) by one step RT-PCR assay. *J. Anim. Vet. Adv.*, 11(7): 931–932.

Yang B, Peng G, Li T, Kadowaki T, 2013. Molecular and phylogenetic characterization of honey bee viruses, *Nosema microsporidia*, protozoan parasites, and parasitic mites in China. *Ecol. Evol.*, 3(2): 298–311.

Zhang JQ, Feng JX, Liang YY, Chen DH, Zhou ZH, Zhang QF, Lu XY, 2001. Three-dimensional structure of the Chinese sacbrood bee virus. *Sci. China Ser. C–Life Sci.*, 44: 444–448.

(责任编辑：赵利辉)